

27. Лосев С. А., Макаров В. Н., Павлов В. А., Шаталов О. П. Исследование процессов в газодинамическом лазере на ударной трубе большого диаметра.— ФГВ, 1973, № 4.
28. Белков П. В., Вакатов В. П., Ткаченко Б. К., Широков Н. И. Экспериментальное исследование зависимости показателя усиления в газодинамическом лазере на смеси CO<sub>2</sub> — N<sub>2</sub> — H<sub>2</sub>O от содержания паров воды.— ФГВ, 1976, № 4.
29. Смехов Г. Д., Полторацкий В. А., Британ А. Б. Обобщенная схема измерения температуры газа методом обращения спектральных линий.— ТВТ, 1979, т. 16, № 3.
30. Зеленов А. А., Райхман Б. А., Семенов Е. И. Стабилизация мощности излучения лазера ЛГ-23.— Оптико-механическая промышленность, 1974, № 6.
31. Лосев С. А. О свертке информации, получаемой в экспериментах на ударных трубах.— Труды НИИМ МГУ, 1973, № 21.

УДК 535+534.222+539.196

## РЕЗОНАНСНАЯ САМОФОКУСИРОВКА В СМЕСИ CO<sub>2</sub> И N<sub>2</sub>

B. A. Выслух, L. I. Огнев  
(Москва)

Резонансное поглощение импульсного излучения CO<sub>2</sub>-лазера в смеси CO<sub>2</sub> и N<sub>2</sub> сопровождается эффектом кинетического охлаждения [1]. В смесях, содержащих более 1% углекислого газа, это явление изучалось экспериментально [2—4] и теоретически [4, 5]. На основе кинетических уравнений для запасов колебательных квантов в модах [4, 5] исследована зависимость глубины и времени существования охлаждения от параметров импульса и среды. Показано [6], что глубина охлаждения заметно возрастает при повышении температуры смеси до 500—600 К. Рассмотрение проводилось в приближении заданного поля излучения, справедливом на коротких трассах.

В то же время ясно, что возрастание плотности в приосевой области пучка, вызванное кинетическим охлаждением, приводит к подавлению дифракционного расплывания и может вызвать самофокусировку, что, в свою очередь, повлияет на параметры среды. Данная работа посвящена численному исследованию самосогласованной задачи о взаимодействии излучения CO<sub>2</sub>-лазера со смесью углекислого газа и азота. Характерные параметры соответствуют условиям лабораторного эксперимента [4]. Основное внимание уделяется выявлению тех условий, при которых самофокусировка за счет кинетического охлаждения может быть зафиксирована в патурном эксперименте.

1. Самовоздействие рассматривается в приближении квазиоптики [7] на основе «параболического» уравнения для комплексной амплитуды электрического поля  $\mathcal{E}(r, z, t)$ :

$$(1.1) \quad 2ikn \left( \frac{\partial \mathcal{E}}{\partial z} + \frac{1}{v} \frac{\partial \mathcal{E}}{\partial t} \right) = \Delta_{\perp} \mathcal{E} + 2k^2 \delta n \mathcal{E} - ika \mathcal{E},$$

где  $k = 2\pi/\lambda$  — волновое число;  $v$  — групповая скорость света;  $\alpha$ ,  $n$  — коэффициенты поглощения и преломления света в среде;  $\delta n$  — изменение коэффициента преломления среды;  $\Delta_{\perp} = 1/r \cdot \partial/\partial r (r \partial/\partial r)$ . В правой части уравнения (1.1) первый член описывает дифракцию, последний — поглощение в среде. Поглощение предполагается линейным, т. е. явление оптического просветления среды не учитывается. Самовоздействие, возникающее за счет изменения показателя преломления среды при кинетическом охлаждении, описывается вторым членом в правой части уравнения (1.1). Изменение показателя преломления среды предполагается пропорциональным возмущению плотности  $\delta n = (n_0 - 1)\delta\rho/\rho_0$ . В свою очередь, относительное изменение плотности газа  $\rho(r, z, t)$  удовлетворяет волновому уравнению

$$(1.2) \quad \frac{\partial^2 \rho}{\partial t^2} - c_0^2 \Delta_{\perp} \rho = c_0^2 \beta \Delta_{\perp} T,$$

где  $\beta$  — коэффициент теплового расширения;  $c_0$  — скорость звука;  $T(I_0, t)$  — функция температурных источников. Уравнение (1.2) записано в предположении, что продольные градиенты плотности пренебрежимо малы по сравнению с поперечными. Функция температурных источников находится из уравнения

$$(1.3) \quad \partial T / \partial t = \Phi(I_0, t) / (C_p \rho_0),$$

где  $\Phi(I_0, t)$  — плотность мощности источников охлаждения (нагревания) при обмене энергией между поступательными и колебательными степенями свободы молекул;  $\rho_0$  — невозмущенная плотность газа;  $C_p$  — теплоемкость поступательных и вращательных степеней свободы газа при постоянном давлении. При записи уравнения (1.3) предполагалось, что влияние теплопроводности и вынужденной конвекции в интересующих нас временных масштабах мало.

Действительно, характерные времена установления развитой конвекции  $\tau_k$  и теплопроводности  $\tau_T$  определяются как [5]

$$\tau_k \sim r(\alpha I_0 r^2 \beta g / \rho_0 C_p)^{-1/3}, \quad \tau_T \sim r^2 / (4\chi).$$

При значениях параметров, соответствующих условиям лабораторного эксперимента [4],  $\tau_k \gtrsim 10^{-3}$  с,  $\tau_T \gtrsim 0,1$  с. Приведенная оценка относится к случаю мгновенной термализации поглощенной энергии  $\Phi(I_0, t) = \alpha I_0$ , где  $I_0 = cn |\mathcal{E}_0|^2 / 8\pi$ . В рассматриваемом случае кинетического охлаждения  $|\Phi(I_0, t)| < \alpha I_0$ , так как энергия, поступающая в колебательные уровни молекул из поступательных степеней свободы газа, меньше поглощенной энергии. Следовательно, оценка для  $\tau_k$  является заниженной. Время же существования кинетического охлаждения  $\tau \leq 10^{-4}$  с, по крайней мере, на порядок меньше времен  $\tau_k$  и  $\tau_T$ , что оправдывает использованные приближения. Плотность мощности источников охлаждения  $\Phi(I_0, t)$  определяется соотношением

$$(1.4) \quad \Phi(I_0, t) = N [A(\varepsilon_2) E_{010} P(\varepsilon_2, \varepsilon_2^0) - (E_{001} - A(\varepsilon_2) E_{030}) W_3(\varepsilon_1, \varepsilon_2)].$$

Это разность потока энергии из поступательных степеней свободы на уровень (01<sup>1</sup>0) (первый член в правой части (1.4)) и потока энергии, выделяющейся в тепло при трехквантовом распаде уровня (00<sup>0</sup>1) (второй член в (1.4)). Нагревание является следствием дефекта энергии при переходе (00<sup>0</sup>1)  $\rightarrow$  (03<sup>1</sup>0). Обозначения в (1.4) соответствуют принятым в работе [5]:  $N$  — концентрация молекул углекислого газа;

$$\begin{aligned} A(\varepsilon_2) &= 2(1 + \varepsilon_2)/(2 + 6\varepsilon_2 + 3\varepsilon_2^2); \quad P(\varepsilon_2, \varepsilon_2^0) = \\ &= P_{20}(\varepsilon_2 - \varepsilon_2^0)(1 - \exp(-E_{010}/T_0)); \\ W_3(\varepsilon_1, \varepsilon_2) &= \frac{P_3}{8} [\exp(-500/T_0) \varepsilon_2^3 (1 + \varepsilon_1) - \varepsilon_1 (\varepsilon_2 + 2)^3]; \\ P_{20} &= P_y K_1 + p_a K_2; \quad P_3 = p_y K_3 s p_a K_4; \end{aligned}$$

$K_i$  — кинетические коэффициенты;  $p_y, p_a$  — парциальные давления углекислого газа и азота в смеси;  $P_{20}$  и  $P_3$  имеют смысл обратных времен поступательно-колебательной релаксации и трехквантового распада соответственно;  $\varepsilon_1$  — среднее число квантов объединенных асимметричной моды CO<sub>2</sub> и колебаний N<sub>2</sub>;  $\varepsilon_2$  — то же для объединенных симметричной и деформационной мод CO<sub>2</sub>, находящихся в равновесии между собой;  $\varepsilon_2^0$  — равновесное значение  $\varepsilon_2$ ;  $T_0$  — газовая температура. Запасы колебаний

бательных квантов  $\varepsilon_1$  и  $\varepsilon_2$  удовлетворяют кинетическим уравнениям

$$(1.5) \quad \frac{d\varepsilon_1}{dt} = X [W_3(\varepsilon_1, \varepsilon_2) + E(I_0, \varepsilon_1, \varepsilon_2)];$$

$$(1.6) \quad \frac{d\varepsilon_2}{dt} = A(\varepsilon_2) [-3W_3(\varepsilon_1, \varepsilon_2) - 2E(I_0, \varepsilon_1, \varepsilon_2) - P(\varepsilon_2, \varepsilon_2)],$$

где  $X = p_y/(p_y + p_a)$ ;  $E(I_0, \varepsilon_1, \varepsilon_2)$  — член, содержащий оптическую накачку [8]:

$$E(I_0, \varepsilon_1, \varepsilon_2) = (\sigma_0 I_0 / \hbar\omega) [\varepsilon_2^2 / (2 + \varepsilon_2)^2 - \varepsilon_1 / (1 + \varepsilon_1)] \times \\ \times 16(1 + \varepsilon_2) / [(1 + \varepsilon_1)(2 + \varepsilon_2)^4],$$

$\hbar\omega = E_{001} - E_{100}$  — энергия оптического перехода;  $\sigma_0$  — сечение поглощения излучения молекулой  $\text{CO}_2$ .

Таким образом, исследование самовоздействия в условиях кинетического охлаждения предполагает рассмотрение уравнения квазиоптики (1.1) совместно с уравнениями, описывающими изменение плотности (1.2), отток тепла (1.3) и кинетику запаса колебательных квантов (1.5), (1.6).

2. Для численного анализа в (1.1)–(1.6) удобно перейти к безразмерным переменным и функциям  $r' = r/a_0$ ,  $z' = z/(ka_0^2)$ ,  $\tau = (t - z/v)/t_0$ ,  $\mathcal{E}' = \mathcal{E}/|\mathcal{E}_0|$ ,  $\rho' = \rho/\rho^*$ ,  $T' = T/T^*$ , где  $a_0$  — начальный радиус пучка;  $t_0$  — длительность импульса;  $\mathcal{E}_0$  — характерное значение амплитуды поля на входе в среду;  $\rho^*$  и  $T^*$  — масштабы для измерения плотности и функции температурных источников. В новых переменных будем иметь\*

$$(2.1) \quad i \frac{\partial \mathcal{E}}{\partial z} = \frac{1}{2} \Delta_\perp \mathcal{E} + R \rho \mathcal{E} - i \alpha \mathcal{E}.$$

Параметр нелинейности  $R$  пропорционален энергии импульса  $W$  и зависит от характеристик среды:

$$R = W \frac{k^2 (n_0 - 1) X}{\pi T_0} \frac{E_{010}}{\hbar\omega} \frac{\sigma_0 N_A}{(7/2) R_0} \frac{\varepsilon_1^0 (1 + \varepsilon_2^0)}{(1 + \varepsilon_2^0/2)^4},$$

где  $N_A$  — число Авогадро;  $R_0$  — универсальная газовая постоянная;  $\alpha = \alpha_0 X k a_0^2 / 2$  — приведенное поглощение. Волновое уравнение примет вид

$$(2.2) \quad \partial^2 \rho / \partial \tau^2 - c^2 \Delta_\perp \rho = c^2 \Delta_\perp T,$$

где  $c = t_0 c_0 / a_0$  — акустический параметр — отношение длительности импульса к характерному времени выравнивания давления по сечению пучка. Масштаб плотности  $\rho^* = \rho_0 j t_0 \gamma$  и функции температурных источников  $T^* = T_0 j t_0 \gamma$ , здесь  $(j t_0)$  имеет смысл отношения энергии, прошедшей через сечение поглощения молекулы  $\text{CO}_2$  за время  $t_0$  к энергии оптического перехода,  $j = \sigma_0 I_0 (1 + \varepsilon_2^0) / [\hbar\omega (1 + \varepsilon_2^0/2)^4]$ ,  $\gamma = N E_{010} \varepsilon_1^0 / (\rho_0 C_p T_0)$ . Уравнения (1.3)–(1.6) с хорошей точностью линеаризуются относительно отклонений запасов колебательных квантов от равновесных значений  $\Delta \varepsilon_1 = \varepsilon_1 - \varepsilon_1^0$  и  $\Delta \varepsilon_2 = \varepsilon_2 - \varepsilon_2^0$ . В безразмерных переменных линеаризованные уравнения принимают вид

$$(2.3) \quad \partial T / \partial \tau = \lambda_1 e_1 + \lambda_2 e_2;$$

$$(2.4) \quad \partial e_1 / \partial \tau = X [v - e_1 t_0 (\mu + j) + e_2 t_0 \xi (\xi + j)];$$

$$(2.5) \quad \partial e_2 / \partial \tau = -2v + 2e_1 t_0 (3\mu/2 + j) - 2e_2 t_0 \eta (\theta + j),$$

\* Здесь и далее штрих у безразмерных переменных опущен.

$e_i = \Delta\epsilon_i / (\epsilon_{11}^0 t_0)$ . Постоянные коэффициенты в уравнениях (2.3)–(2.5) сложным образом зависят от молекулярных констант, в частности, при  $T_0 = 500$  К  $\xi \sim 0,1P_3$ ,  $\mu \sim 1,6P_3$ ,  $\theta \sim 0,8P_3 + 8P_{20}$ , причем  $\theta > \mu > \xi$ . Если среда далека от насыщения ( $j \ll \xi$ ), то за время трехквантового распада уровня (0001) энергия, прошедшая через сечение  $\sigma_0$ , много меньше  $\hbar\omega$ . В этом случае глубина кинетического охлаждения пропорциональна энергии импульса  $W$ . Если за время колебательно-поступательной релаксации  $\tau \sim 1/P_{20}$  через  $\sigma_0$  проходит энергия, много большая  $\hbar\omega$  ( $j \gg \theta$ ), то глубина охлаждения достигает максимума и дальнейшее увеличение интенсивности приводит лишь к ускорению переходного процесса \*.

Характерная зависимость приведенной глубины охлаждения от времени изображена на фиг. 1. Она получена из решения системы (2.3)–(2.5) в приближении заданной интенсивности  $I_0 = \text{const}$  (кривая 1). Кривая 2 соответствует нерезонансному поглощению.

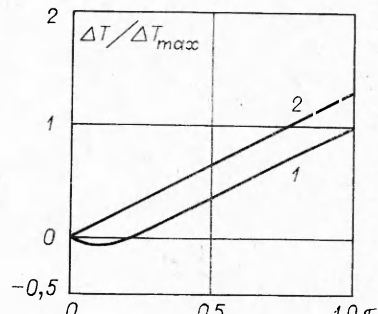
3. Система уравнений (2.1)–(2.5) решалась на основе разработанного комплекса программ. Для интегрирования уравнения квазиоптики (2.1) применялся метод конечных элементов [9], волнового уравнения (2.2) — метод дискретного преобразования Фурье — Бесселя. В процессе счета на печать выводились пространственно-временные распределения интенсивности при различных  $z$ , профили возмущений плотности и функция температурных источников  $T$  \*\*.

С точки зрения регистрации эффекта самовоздействия в натурном эксперименте важен относительный прирост интенсивности в точке наблюдения  $\Delta = (I(t^*, r, z) - I(0, r, z)) / I(0, r, z)$ . В то же время для оценки эффективности самофокусировки удобным параметром является интенсивность в точке наблюдения, нормированная на входную  $I(t, r, z) / I(0, 0, 0)$ . Оба эти параметра используются в данной работе, причем  $\Delta$  обозначает относительный прирост интенсивности на оси пучка. Время  $t^*$  соответствует наибольшей самофокусировке.

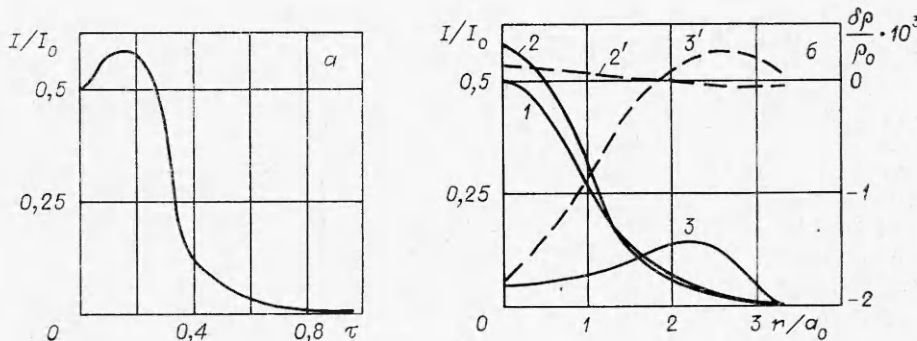
Характерные результаты, соответствующие комнатным температурам ( $T_0 = 300$  К,  $X = 0,5$ ,  $t_0 = 90$  мкс,  $\alpha = 0$ ,  $R = 0,14$ , значение  $n_0 = 1$  взято из [11]), приведены на фиг. 2. Начальные условия соответствуют прямоугольному по времени импульсу, имеющему гауссов профиль интенсивности  $I(t, r, z) = I_0 \exp(-(r/a_0)^2)$  с плоским фазовым фронтом. На фиг. 2, а изображен временной ход нормированной интенсивности на оси пучка на расстоянии дифракционной длины от входа в среду. Видно, что передний фронт испытывает дифракционное расплывание (фиг. 2, б, кривая 1,  $\tau = 0$ ).

\* В литературе приводятся различные значения кинетических констант релаксации в CO<sub>2</sub> при повышенных температурах. Здесь использованы данные работы [6]. При использовании констант, приведенных в [10], глубина охлаждения уменьшается в 1,5–2 раза.

\*\* Проверка точности расчетов проводилась по значению полной мощности излучения в пучке  $P = 2\pi \int_0^\infty I(t, r, z) r dr$ . Убывание мощности с расстоянием от входа в среду соответствовало линейному поглощению. Было также показано, что при уменьшении шага интегрирования в 2 раза числовое значение решения меняется в пределах нескольких процентов.



Фиг. 1



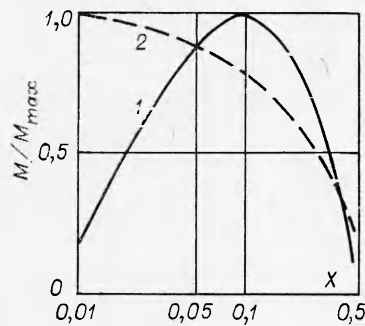
Фиг. 2

На временах  $t$  порядка времени существования охлаждения наблюдается рост интенсивности ( $2 - \tau = 0,25$ , далее — по мере перехода охлаждения в нагрев — дефокусировка ( $3 - \tau = 0,5$ )). Распределения нормированного возмущения плотности по радиусу на расстоянии дифракционной длины изображены на фиг. 2, б штриховыми линиями. Кривые  $2'$  и  $3'$  соответствуют временам  $\tau = 0,25$  и  $0,5$ . Отрицательные значения возмущений плотности на кривой  $2'$  и положительные на кривой  $3'$  на периферии пучка объясняются гидродинамическими эффектами выравнивания давления. В рассмотренном примере относительный прирост интенсивности  $\Delta$  на расстоянии дифракционной длины достигает 20%.

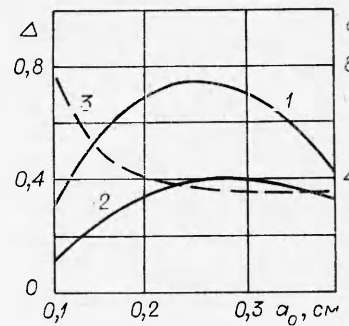
Как уже отмечалось, при повышенных температурах глубина кинетического охлаждения возрастает. Поэтому имеет смысл рассматривать самоиздействие при температуре смеси  $T_0 = 500$  К. В теории нестационарной самофокусировки характерным параметром является энергия импульса [12]. Поэтому в первой серии численных экспериментов фиксировалась энергия импульса  $W = 1$  Дж ( $R = 0,25$ ), варьировался радиус пучка  $a_0$ . Для того чтобы влияние дифракции было одинаковым в пределах всей серии экспериментов, точка наблюдения помещалась на расстоянии  $z = -ka_0^2$  или  $ka_0^2/2$ . Длительность импульса подбиралась такой, чтобы наибольший прирост  $\Delta$  достигался в момент времени  $\tau/3t_0$  (с учетом гидродинамических эффектов). При выборе концентрации углекислого газа учитывалась как зависимость глубины охлаждения  $\Delta T$  от содержания  $\text{CO}_2$  в смеси при заданной энергии импульса, так и поглощение излучения в среде, существенное при повышенных температурах.

За оптимальную концентрацию  $X$  принята такая, при которой произведение глубины охлаждения на коэффициент ослабления излучения  $M(X) = \Delta T \exp(-\alpha_0 X z)$  достигает максимума. Здесь  $z$  — расстояние наблюдения. Если длительность импульса выбирать равной времени достижения наибольшего охлаждения, то для пучка  $a_0 = 0,2$  см,  $W = 1$  Дж зависимость  $M(X)$  имеет максимум при  $X = 0,1$  (фиг. 3, кривая 1). Поэтому численные эксперименты первой серии проводились для  $X = 0,1$ .

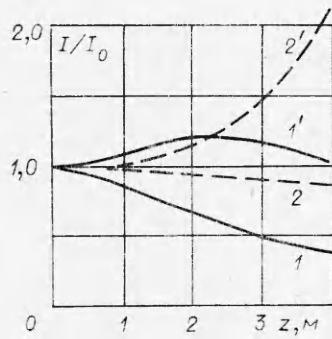
Зависимости  $\Delta$  от начального радиуса пучка  $a_0$  приведены на фиг. 4. Точки наблюдения находятся на дифракционной длине (кривая 1) и на половине дифракционной длины (кривая 2). Изменение акустического числа  $c$  в пределах серии изображено на фиг. 4 штриховой линией 3. Как видно из графиков, зависимость относительного прироста интенсивности  $\Delta$  от  $a_0$  имеет характерные максимумы. Уменьшение самофокусировки при больших радиусах  $a_0$  объясняется влиянием поглощения, так как наблюдение ведется на больших расстояниях. Характерно, что максимум кривой 2 (фиг. 4) сдвинут в сторону больших  $a_0$  по сравнению с максимумом



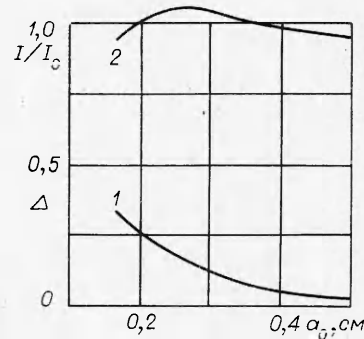
Фиг. 3



Фиг. 4



Фиг. 5



Фиг. 6

кривой 1. Уменьшение  $\Delta$ , наблюдающееся при малых  $a_0$ , объясняется тем, что при высоких интенсивностях начинает сказываться явление насыщения. Вследствие этого рост дифракционного расплывания при малых  $a_0$  уже не может быть скомпенсирован ростом глубины охлаждения за счет увеличения интенсивности.

Вторая серия численных экспериментов проводилась при фиксированных интенсивности  $I_0$  и длительности импульса  $t_0 = 50$  мкс. Предполагалось, что наблюдение ведется на расстояниях порядка 1—4 м, что соответствует условиям реального эксперимента. При фиксированной интенсивности излучения глубина охлаждения возрастает с уменьшением содержания углекислого газа в смеси (за счет удлинения времени существования охлаждения). В соответствии с этим эффект самофокусировки должен быть заметнее при малых концентрациях  $\text{CO}_2$ . Зависимость  $M(X)$  в этом случае приведена на фиг. 3 штриховой линией 2. Однако длительность импульса ограничена конструкцией источников излучения. Поэтому была выбрана концентрация  $X = 0,05$ . На фиг. 5 приведена зависимость нормированной интенсивности на оси пучка  $I/I_0$  от  $z$  ( $0 \leq z \leq 400$  см) для двух начальных радиусов  $a_0 = 0,25$  см (кривые 1, 1') и  $a_0 = 0,5$  см (кривые 2, 2'). Начальному моменту времени соответствуют кривые 1, 2, моменту наибольшей самофокусировки  $\tau = 0,4 - 1', 2'$ . Следует отметить, что с увеличением радиуса пучка  $a_0$  растет энергия импульса, а следовательно, и параметр нелинейности  $R$ . Для  $a_0 = 0,25$  см параметр нелинейности  $R = 0,6$ , а для  $a_0 = 0,5$  см  $R = 2,4$ . Однако, как видно из фиг. 5, если расстояние наблюдения менее 2 м, то рост  $I/I_0$  более заметен для пучка с меньшим радиусом. Это связано с тем, что при малых радиусах пучка

нелинейные эффекты сказываются на меньших расстояниях. Характерная зависимость параметров самофокусировки  $\Delta$  и  $I/I_0$  от начального радиуса пучка при фиксированном значении нелинейного параметра  $R = 0,5$  приведена на фиг. 6. Расстояние наблюдения 1 м. Относительный прирост  $\Delta$  монотонно уменьшается с ростом  $a_0$ , так как уменьшается длина трассы  $z/ka_0^2$ . Такая монотонность нарушается для зависимости  $I/I_0$  от начального радиуса (кривая 2). По-видимому, для узких пучков возросшая дифракция уже не может быть скомпенсирована при рассматриваемом механизме самовоздействия. Отметим, что численные эксперименты с пучками «супергауссова» профиля  $I = I_0 \exp(-(r/a_0)^6)$  на расстояниях  $z = 0—100$  см не показали заметного усиления эффекта самовоздействия по сравнению с гауссовыми пучками.

На эффективность самофокусировки может оказывать влияние форма переднего фронта импульса излучения, так как в [4] показано, что глубина кинетического охлаждения больше в случае импульса с крутым передним фронтом. Однако на временах  $t \leq P_3^{-1} + P_{20}^{-1}$  глубина кинетического охлаждения определяется плотностью энергии прошедшего через среду излучения [4]. Поэтому для импульсов, в которых время нарастания переднего фронта значительно меньше времени существования кинетического охлаждения в среде, эффективность самофокусировки будет определяться в основном энергией импульса  $W$  (значением нелинейного параметра  $R$ ).

Как показали результаты численного моделирования, нестационарное тепловое самовоздействие, возникающее благодаря эффекту кинетического охлаждения в газе, существенно влияет на форму импульса, распространяющегося в среде. При высоких температурах этот эффект может быть заметным на расстояниях порядка 1 м. Это позволяет надеяться на возможность регистрации данного вида самовоздействия в эксперименте.

Эксперименты по самовоздействию резонансного излучения в условиях кинетического охлаждения могут служить критерием правильности выбора кинетических констант скоростей колебательной релаксации в молекулах углекислого газа.

*Поступила 1 VI 1979*

#### ЛИТЕРАТУРА

1. Wood A. D., Samac M., Geny E. T. Effects of  $10.6\mu$  laser induced air chemistry on the atmospheric refractive index.— Appl. Optics, 1971, vol. 10, N 8.
2. Aoki T., Katayama M. Impulsive optic-acoustic effect of  $\text{CO}_2$ ,  $\text{SF}_6$  and  $\text{NH}_3$  molecules.— Jap. J. of Appl. Phys., 1971, vol. 10, N 10.
3. Aung H., Katayama M. Interferometric studies of transient cooling and heating of  $\text{CO}_2$  induced by  $10.6\mu$  laser pulse and vibration-translation relaxation.— Jap. J. of Appl. Phys., 1975, vol. 14, N 1.
4. Гордиенко В. М., Горшков В. А., Панченко В. Я., Сухоруков А. П. Кинетическое охлаждение смеси газов  $\text{CO}_2 - \text{N}_2$  излучением  $\text{CO}_2$ -лазера.— ЖЭТФ, 1977, т. 73, вып. 3(9).
5. Ахманов С. А., Гордиенко В. М., Панченко В. Я. Термализация молекулярного газа при резонансном возбуждении лазерным излучением.— Изв. вузов. Физика, 1977, № 11.
6. Варакин В. Н., Гордиенко В. М., Панченко В. Я. Температурная зависимость эффекта кинетического охлаждения.— Квант. электроника, 1979, т. 6, № 4.
7. Ахманов С. А., Сухоруков А. П., Хохлов Р. В. Самофокусировка и дифракция света в нелинейной среде.— УФН, 1967, т. 93, вып. 1.
8. Справочник по лазерам. Т. 1. М., Сов. радио, 1978.
9. Выслоух В. А., Кандидов В. П. Метод конечных элементов в задаче о тепловом самовоздействии световых пучков.— В кн.: Труды VII Всесоюзного симпозиума по дифракции и распространению волн. Т. 1. М., 1977.

10. Бирюков А. С., Кулагин Ю. А., Шелепин Л. А. О влиянии галогеноводородов на работу газодинамического CO<sub>2</sub>-лазера. Препринт ФИАН СССР, № 105, 1975.
11. Buser R. B., Rohde R. Transient blooming of long laser pulses.— Appl. Optics, 1975, vol. 14, N 1.
12. Мастрюков А. Ф., Сынах В. С. О нестационарной тепловой самофокусировке импульсов.— ПМТФ, 1978, № 2.

УДК 536.253

## СМЕШАННАЯ КОНВЕКЦИЯ НАД НАГРЕТОЙ ПОВЕРХНОСТЬЮ ПРИ НАЛИЧИИ ВДУВА

*A. M. Гришин, A. D. Грузин, B. A. Капустин*

(*Томск*)

Смешанная конвекция над горизонтальной нагретой поверхностью при ламинарном режиме течения исследовалась в [1—3]. В [1] в рамках приближения Буссинеска получены уравнения ламинарного пограничного слоя при смешанной конвекции, точные автомодельные и приближенные решения этих уравнений, полученные методом, аналогичным методу Кармана — Польгаузена. В [2] при описании смешанной конвекции были сняты ограничения, вытекающие из приближения Буссинеска, а также методом Кармана — Польгаузена определены толщины динамического, теплового и диффузионного пограничных слоев. В [3] численно решены уравнения пограничного слоя в форме Буссинеска и дан анализ взаимного влияния вынужденной и свободной конвекции при обтекании горизонтальной нагретой пластины.

В данной работе предлагается постановка задачи о смешанной конвекции для случаев устойчивой и нейтральной стратификации среды [4] за пределами пограничного слоя.

В результате качественного анализа задачи установлено, что при убывании температуры подстилающей поверхности напряжение трения как для ламинарного, так и для турбулентного течения сильно уменьшается и может иметь место отрыв пограничного слоя. Методом [5] получены асимптотические формулы для напряжения трения и теплового потока, которые для ламинарного режима течения согласуются с результатами численных расчетов. При помощи итерационно-интерполяционного метода [6, 7] и ЭВЦМ установлены пределы применимости приближения Буссинеска и показано, что при определенных условиях свободная конвекция мало влияет на величину теплового потока к обтекаемой поверхности.

**1. Постановка задачи.** Рассматривается течение стратифицированного газа над произвольной плоской нагретой поверхностью, через которую осуществляется вдув нагретого газа той же природы. В общем случае такое течение описывается уравнениями Навье — Стокса для ламинарного течения или уравнениями Рейнольдса для турбулентного течения [4]. В случае, когда число Рейнольдса Re велико, а массовая скорость набегающего потока  $\rho_e u_e \gg (\rho v)_w$  — массовой скорости вдува, всю область течения можно разбить на пограничный слой, где существенны процессы молекулярного (молярного) переноса, и зону внешнего течения, где силами вязкости можно пренебречь. Если дополнительно предположить, что состав газа не меняется, то течение в пограничном слое описывается следующей системой уравнений:

$$(1.1) \quad \frac{\partial \rho u}{\partial x} + \frac{\partial \rho v}{\partial y} = 0;$$

$$(1.2) \quad \rho \left( u \frac{\partial u}{\partial x} + v \frac{\partial u}{\partial y} \right) = \frac{\partial}{\partial y} \left( \mu \frac{\partial u}{\partial y} \right) - \frac{\partial p}{\partial x} - \rho g \sin \alpha;$$